

การวิเคราะห์การปรับปรุงโครงสร้างฟันปลอมติดแน่นชนิดไฮบริด
แบบ 3 รากฟันเทียมโดยใช้ระเบียบวิธีไฟไนต์เอลิเมนต์

THE ANALYSIS OF MODIFIED HYBRID DENTURE STRUCTURE
WITH 3 IMPLANTS BY THE FINITE ELEMENT METHOD

เชิดพันธ์ วิฑูราภรณ์^{1*} และ ชาคริต ตั้งศิริมงคล¹

¹ภาควิชาวิศวกรรมเครื่องกล คณะวิศวกรรมศาสตร์ จุฬาลงกรณ์มหาวิทยาลัย เขตปทุมวัน กรุงเทพมหานคร 10330

โทร 02-218-6622 โทรสาร 02-252-2889 อีเมล chirdpun@hotmail.com

Chirdpun Vitooraporn^{1*} and Chacrit Tangsirimongkol¹

¹Department of Mechanical Engineering Faculty of Engineering Chulalongkorn University Patumwan, Bangkok 10330

Tel: 0-2218-6622 Fax: 0-2252-2889 E-mail: chirdpun@hotmail.com

บทคัดย่อ : การวิเคราะห์การกระจายความเค้นในฟันปลอมไฮบริดบนกระดูกขากรรไกรล่างโดยใช้ระเบียบวิธีไฟไนต์เอลิเมนต์เพื่อลดจำนวนรากฟันเทียมที่รองรับฟันปลอมไฮบริดจากจำนวน 5 ตัวให้เหลือเพียง 3 ตัว พบว่าการลดจำนวนรากฟันเทียมทำให้ค่าความเค้นสูงสุดที่ตำแหน่งของรากฟันเทียมตัวหลังสุดนั้นมีค่าสูงขึ้น ซึ่งเป็นผลมาจากโมเมนต์ดัดที่เพิ่มขึ้นบนรากฟันเทียมแต่ละตัว [1, 2] ดังนั้นงานวิจัยนี้จึงได้นำผลการวิเคราะห์ดังกล่าวมาหาแนวทางในการแก้ปัญหา โดยการเพิ่มความแข็งแรงให้แก่โครงสร้างฟันปลอม ได้แก่ การเพิ่มขนาดของหลักยึดรากฟันเทียม หรือเสริมบารองรับให้แก่หลักยึดรากฟันเทียม ซึ่งผลจากการวิเคราะห์พบว่าสามารถลดค่าความเค้นที่เกิดขึ้นบนคอหลักยึดได้ แต่ไม่สามารถลดค่าความเค้นที่เกิดขึ้นบนกระดูกรอบรากฟันเทียมได้ ทำให้อาจเกิดปัญหาการละลายของกระดูกรอบรากฟันเทียม ขณะที่การแก้ปัญหาโดยการลดโมเมนต์ดัดที่ส่งสู่รากฟันเทียมตัวหลังสุด เช่น การใช้โครงโลหะโคบอลต์อัลลอยแทนโครงโลหะไททาเนียมอัลลอยเพื่อให้ความแข็งแรงมากขึ้น พบว่าสามารถช่วยแก้ปัญหาการกระจายความเค้นบนโครงโลหะได้อย่างมาก แต่ช่วยแก้ปัญหาการกระจายความเค้นที่กระดูกรอบรากฟันเทียมเพียงเล็กน้อยเท่านั้น การออกแบบโครงสร้างฟันปลอมใหม่โดยใช้จุดเชื่อมต่อแบบจุดหมุนบนหลักยึดรากฟันเทียมแทนการใช้จุดตรึงปลายเพื่อให้เกิดการถ่ายทอดแรงในแนวแกนรากฟันเทียมลงสู่รากฟันเทียมเท่านั้น พบว่าสามารถช่วยลดค่าความเค้นที่เกิดขึ้นบนกระดูกรอบรากฟันเทียมได้ต่ำกว่าค่าความเค้นสูงสุดบนกระดูกรอบรากฟันเทียมเมื่อใช้ฟันปลอมไฮบริด 5 รากฟันเทียม

Abstract: Results from the stress analysis on the reduction of the hybrid denture's implants from five implants to three implants using the finite element method reveals that the maximum stress

occurred in the implant at the rear end is higher than that when using five implants. This is resulted from higher bending moment occurred on each implant [1, 2]. Therefore it is the aim of this research to investigate those results in order to modify the hybrid denture structure to withstand those higher stresses. Enhancing the strength on the hybrid denture by increasing the size of abutment or adding the chamfer at the neck of abutment could reduce the stresses on the neck of abutment but could not reduce the stress distribution at the cortical and spongy bone around the implants. This could cause the problem on bone resorption around the implants. Reducing the bending moment on the implant at the rear end by using other materials with higher strength such as cobalt instead of titanium could effectively reduce the stress on the frame and abutment but little could be done on reducing the stress on the cortical and spongy bone around the implants. Redesigning the hybrid denture structure using roller support on abutment instead of using the fixed support in order to receive only the axial force could reduce the stress at the cortical and spongy bone around the implants to the value that is lower than the maximum stress at the cortical and spongy bone around the implants when using hybrid denture with 5 implants.

1. บทนำ

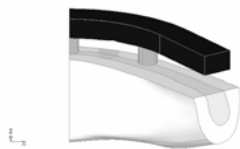
ชาคริต (2545) [1] ได้ทำการวิเคราะห์เปรียบเทียบความเค้นที่เกิดขึ้นในฟันปลอมติดแน่นชนิดไฮบริดที่ฝังรากฟันเทียมจำนวน 5 ตัว

AMM075

และ 3 ตัว โดยใช้ระเบียบวิธีไฟไนต์เอลิเมนต์ พบว่าค่าความเค้นสูงสุดที่เกิดขึ้นที่ตำแหน่งของรากฟันเทียมตัวหลังสุดมีค่าสูงขึ้นเมื่อลดจำนวนรากฟันเทียมลงเหลือ 3 ตัว โดยมีสาเหตุมาจากการที่รากฟันเทียมแต่ละตัวต้องรับโมเมนต์ดัดเพิ่มขึ้น ดังนั้นในงานวิจัยนี้จึงได้นำผลการวิเคราะห์ดังกล่าวมาแก้ปัญหาโดยการเพิ่มความแข็งแรงให้กับโครงสร้างฟันปลอม เช่น การเพิ่มขนาดของหลักยึดรากฟันเทียม หรือการเสริมบารองรับให้แก่หลักยึดรากฟันเทียม การเปลี่ยนวัสดุที่ใช้ทำโครงโลหะให้มีความแข็งแรงขึ้น และการออกแบบโครงสร้างฟันปลอมถ่ายทอดแรงในแนวแกนรากฟันเทียมลงสู่รากฟันเทียมเท่านั้น โดยใช้รายละเอียดของแบบจำลองไฟไนต์เอลิเมนต์ของฟันปลอมไฮบริดในขากรรไกรล่างที่เสนอโดยชาคริต (2545) [1] มาเปลี่ยนแปลงรูปร่างและเงื่อนไขใหม่ เพื่อศึกษาความเป็นไปได้ของแนวทางดังกล่าว

2. แบบจำลองไฟไนต์เอลิเมนต์ฟันปลอมไฮบริดในขากรรไกรล่าง

แบบจำลองที่เสนอโดยชาคริต 2545 [1] ได้นำภาพสามมิติที่ใช้คอมพิวเตอร์สร้างขึ้นจากภาพที่ได้จากการทำ CT scan มาดัดกระดูกขากรรไกรล่างส่วนที่อยู่เลยระยะปลายสุดของฟันปลอมไปทางด้านซ้ายออก เพื่อใช้เป็นแบบจำลองส่วนที่เป็นกระดูกขากรรไกรล่าง เนื่องจากกระดูกขากรรไกรล่างและชุดฟันปลอมไฮบริดในแบบจำลองมีความสมมาตรซ้ายขวา ดังนั้นจึงสร้างแบบจำลองครึ่งขวาเพียงครึ่งเดียว (รูปที่ 1) สำหรับใช้ในการวิเคราะห์ความเค้นที่เกิดขึ้น โดยมีหน้าตัดที่แบ่งครึ่งขากรรไกรเป็นหน้าตัดสมมาตร



รูปที่ 1 รูปร่างลักษณะครึ่งส่วนด้านขวาของแบบจำลองฟันปลอมไฮบริดฝังรากฟันเทียม 3 ตัวในกระดูกขากรรไกรล่าง

ในรูปที่ 1 ส่วนบนสุด (สีดำทึบ) จะเป็นโครงโลหะ ใต้โครงโลหะคือหลักยึด สีขาวคือกระดูกทึบ ภายในกระดูกทึบคือกระดูกโปร่ง รากฟันเทียมจะฝังอยู่ในกระดูกขากรรไกรล่างใต้หลักยึดรากฟันเทียม รูปที่ 2 แสดงรูปร่างของรากฟันเทียมที่ยังไม่ได้รับการดัดแปลงซึ่งจะมีลักษณะเป็นทรงกระบอกสูง 10 มม. มีเส้นผ่าศูนย์กลาง 3.75 มม. แต่ละตัวจะอยู่ห่างจากกัน 22 มม. วัดจากจุดศูนย์กลางรากฟันเทียมตัวหนึ่งไปยังรากฟันเทียมอีกตัวหนึ่ง พร้อมทั้งกำหนดให้รากฟันเทียมตัวหลังสุด (ตัวเต็มในรูป) เป็นรากฟันเทียมตัวที่ 1 รากฟันเทียมตัวหน้าสุดเป็นรากฟันเทียมตัวที่ 2



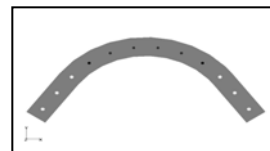
รูปที่ 2 การเรียงตัวของรากฟันเทียม

โครงสร้างฟันปลอมที่อยู่เหนือกระดูกจะประกอบไปด้วยโครงโลหะและหลักยึดรากฟันเทียม โดยโครงโลหะจำลองให้มีรูปร่างเป็นคาน

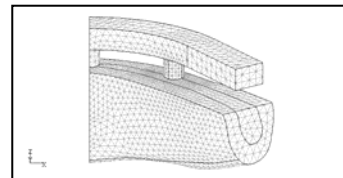
โค้งรูปเกือกม้ามีหน้าตัดสี่เหลี่ยมผืนผ้ามีความกว้าง 6 มม.หนา 4 มม. และมีส่วนยื่นด้านซ้ายยาว 20 มม. ทั้งด้านซ้ายและขวา ส่วนหลักยึดรากฟันเทียมเป็นทรงกระบอกมีหน้าตัดเท่ากับรากฟันเทียมแต่มีความสูง 4 มม. ดังรูปที่ 3



รูปที่ 3 ลักษณะของโครงโลหะและหลักยึดรากฟันเทียม ส่วนที่เป็นรากฟันเทียม โครงโลหะและหลักยึดรากฟันเทียมทำจากโลหะไททาเนียมอัลลอย (Ti-6%Al-7%Nb) โดยมีค่าโมดูลัสความยืดหยุ่นเท่ากับ 105 GPa มีอัตราส่วนของบิวของเท่ากับ 0.35 และมีความเค้นดึงที่จุดครากเท่ากับ 830 MPa และความเค้นเฉือนที่จุดครากเท่ากับ 415 MPa ส่วนที่เป็นกระดูกทึบมีค่าโมดูลัสความยืดหยุ่นเท่ากับ 13.7 GPa อัตราส่วนบิวของเท่ากับ 0.3 และในกระดูกโปร่งมีค่าโมดูลัสความยืดหยุ่นเท่ากับ 1.37 GPa อัตราส่วนบิวของเท่ากับ 0.3 ส่วนค่าความแข็งแรงของกระดูกทึบได้จากการทดสอบแรงดึงมีค่าเท่ากับ 133 MPa จากการทดสอบแรงกดเท่ากับ 193 MPa และจากการทดสอบแรงเฉือนเท่ากับ 68 MPa แรงบดเคี้ยวจะเป็นแรงในแนวตั้งกระทำบนจุดสบฟันซึ่งมีอยู่ 12 จุด กระจายอยู่ด้านบนของโครงโลหะด้วยระยะห่างที่คงที่ โดยมีจุดสบฟันหน้า 4 จุด จุดสบฟันเขี้ยว 2 จุด จุดสบฟันหลัง 6 จุด ดังรูปที่ 4 ลักษณะการบดเคี้ยวจะมี 2 กรณี คือ
กรณีที่ 1 แรงบดเคี้ยวแบบกระจายทั้งปาก จะมีแรงบดเคี้ยวกระทำกับแต่ละจุดสบฟันหน้าเท่ากับ 155 N จุดสบฟันเขี้ยวเท่ากับ 175 N และจุดสบฟันกรามเท่ากับ 195 N กำหนดเป็นชุดแรง 155-175-195 N
กรณีที่ 2 แรงบดเคี้ยวเฉพาะบริเวณฟันกรามด้านขวา จะมีแรงบดเคี้ยวกระทำกับแต่ละจุดสบฟันกรามด้านขวามีค่าเท่ากับ 190 N



รูปที่ 4 ตำแหน่งจุดสบฟันบนโครงโลหะ



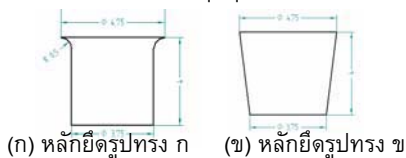
รูปที่ 5 การแบ่งเอลิเมนต์ในแบบจำลองฟันปลอมไฮบริดฝังรากฟันเทียม 3 ตัวบนกระดูกขากรรไกรล่าง

กำหนดให้มีจุดรองรับแบบครึ่งรูปปลายที่ปลายแบบจำลองกระดูกขากรรไกรล่าง และแบบจำลองนั้นมีสมมาตรซ้ายขวาที่หน้าตัดสมมาตร ซึ่งจะให้ผลจากการคำนวณตรงกับผลการตรวจสอบทางคลินิก เอลิเมนต์ที่ใช้เป็นทรงสี่หน้า 10 จุดต่อ โดยที่ขนาดของเอลิเมนต์ใหญ่เล็กไม่เท่ากัน โดยบริเวณที่ไม่ได้รับความสนใจในการศึกษาครั้งนี้ซึ่งได้แก่บริเวณจุดที่กำหนดให้มีแรงบดเคี้ยวและจุดที่กำหนดให้เป็นจุดรองรับ

ของโครงสร้างนั้นจะใช้เอลิเมนต์ที่มีขนาดใหญ่ (ประมาณ 1.5 มม.) ส่วนของกระดูกอบรอกพันเทียมที่มีความเค้นสูงซึ่งเป็นจุดที่มีความสำคัญต่อการศึกษานี้จะกำหนดให้เอลิเมนต์มีขนาดเล็ก(ประมาณ 0.7 มม.)

3. การเปลี่ยนแปลงรูปร่างของหลักยึดรอกพันเทียม

รูปร่างของหลักยึดรอกพันเทียมที่เปลี่ยนแปลงใหม่จะมีลักษณะและขนาดดังแสดงในรูปที่ 6 โดยหลักยึดรูปทรง ก มีการเสริมบารองรับให้แก่หลักยึดเพื่อลดความเค้นขมูมนุมที่เกิดขึ้น ในขณะที่หลักยึดรูปทรง ข มีการเพิ่มพื้นที่หน้าตัดของหลักยึดรอกพันเทียมเฉพาะบริเวณคอหลักยึดเพื่อลดค่าความเค้นที่มีค่าสูงบริเวณคอรอกพันเทียมลง และลดขนาดลงจนเท่ากับหน้าตัดของรอกพันเทียมเพื่อไม่ให้เกิดมุมใด ๆ บนหลักยึดอันจะทำให้เกิดความเค้นขมูมนุมขึ้น



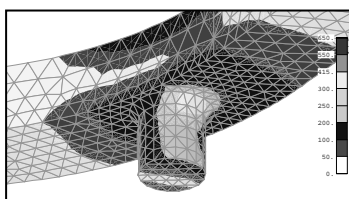
รูปที่ 6 แสดงลักษณะและขนาดของหลักยึดรูปทรง ก และ ข

4. การวิเคราะห์ฟินปลอมไฮบริด 3 รอกพันเทียมเมื่อใช้หลักยึดรูปทรง ก

4.1 การกระจายความเค้น เมื่อมีแรงกดเดี่ยวกระจายทั่วปาก โดยกำหนดชุดแรงกดเดี่ยว 155-175-195 N (กรณีที่ 1)

4.1.1 การกระจายความเค้นบนโครงสร้างฟินปลอม

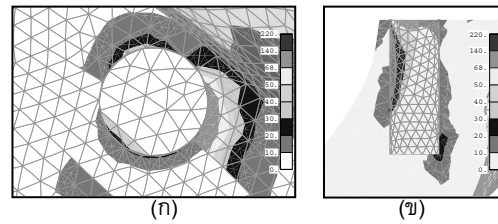
ค่าความเค้นเค้นสูงสุดในโครงสร้างฟินปลอมนั้นอยู่ในบริเวณคอหลักยึดรอกพันเทียมตัวที่ 1 ด้านติดกับส่วนยื่นด้านท้ายฟินปลอม บนส่วนที่เป็นบารองรับโดยค่าความเค้นเค้นสูงสุดที่เกิดขึ้นในบริเวณนี้เท่ากับ 382 MPa



รูปที่ 7 การกระจายความเค้นเค้นเค้นสูงสุด, MPa บนโครงสร้างโลหะและหลักยึดรอกพันเทียมซึ่งใช้หลักยึดรูปทรง ก เมื่อมีชุดแรงกดเดี่ยว 155-175-195 N

4.1.2 การกระจายความเค้นบนกระดูกอบรอกพันเทียม

ค่าความเค้นเค้นเค้นในบริเวณคอหลักยึดรอกพันเทียมตัวที่ 1 จะมีค่าสูงสุดที่สุดในกระดูกอบรอกพันเทียม โดยมีความเค้นเค้นเค้นสูงสุดเท่ากับ 144 MPa ในขณะที่ค่าความเค้นเค้นเค้นในบริเวณเดียวกันจะมีค่าสูงสุดในกระดูกอบรอกพันเทียม โดยมีความเค้นเค้นเค้นสูงสุดเท่ากับ -371 MPa สำหรับค่าความเค้นเค้นเค้นสูงสุดจะอยู่ที่บริเวณคอหลักยึดรอกพันเทียมตัวที่ 2 โดยมีความเค้นเค้นเค้นสูงสุดเท่ากับ 110 MPa

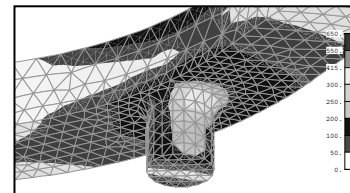


รูปที่ 8 การกระจายความเค้นเค้นเค้นสูงสุด, MPa บนกระดูกอบรอกพันเทียมซึ่งใช้หลักยึดรูปทรง ก เมื่อมีชุดแรงกดเดี่ยว 155-175-195 N โดยที่ (ก) เป็นภาพมุมมองของกระดูกอบรอกพันเทียม (ข) เป็นภาพหน้าตัดของกระดูกอบรอกพันเทียมตัวที่ 1

4.2 การกระจายความเค้น เมื่อมีแรงกดเดี่ยวจุดเดียวบริเวณพินแกรมด้านขวา โดยกำหนดชุดแรงกดเดี่ยว 190 N (กรณีที่ 2)

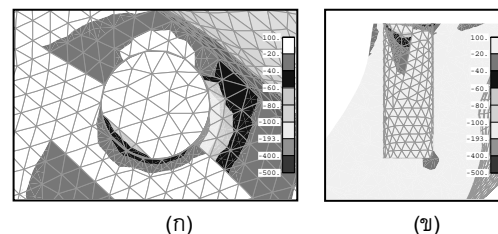
4.2.1 การกระจายความเค้นบนโครงสร้างฟินปลอม

จุดที่มีความเค้นเค้นเค้นสูงสุดอยู่บริเวณบารองรับบริเวณคอหลักยึดรอกพันเทียมตัวที่ 1 ด้านติดกับส่วนยื่นด้านท้ายฟินปลอมและมีความเท่ากับ 389 MPa



รูปที่ 9 การกระจายความเค้นเค้นเค้นสูงสุด, MPa บนโครงสร้างโลหะและหลักยึดรอกพันเทียมซึ่งใช้หลักยึดรูปทรง ก เมื่อมีชุดแรงกดเดี่ยว 190 N

4.2.2 การกระจายความเค้นบนกระดูกอบรอกพันเทียม



รูปที่ 10 การกระจายความเค้นเค้นเค้นค่าต่ำสุด, MPa บนกระดูกอบรอกพันเทียมซึ่งใช้หลักยึดรูปทรง ก เมื่อมีชุดแรงกดเดี่ยว 190 N โดยที่ (ก) เป็นภาพมุมมองของกระดูกอบรอกพันเทียม (ข) เป็นภาพหน้าตัดของกระดูกอบรอกพันเทียมตัวที่ 1

ค่าความเค้นเค้นเค้นในกระดูกอบรอกพันเทียมบริเวณคอหลักยึดรอกพันเทียมตัวที่ 1 มีค่าสูงสุดเท่ากับ 104 MPa ในขณะที่ค่าความเค้นเค้นเค้นในกระดูกอบรอกพันเทียมก็มีความเค้นเค้นเค้นที่บริเวณเดียวกันนี้โดยมีความเท่ากับ -251 MPa ส่วนค่าความเค้นเค้นเค้นในกระดูกอบรอกพันเทียมมีความเค้นเค้นเค้นสูงสุดในบริเวณคอหลักยึดรอกพันเทียมตัวที่ 2 โดยมีความเท่ากับ 70 MPa

4.3 สรุปการกระจายความเค้นในแบบจำลองฟินปลอมไฮบริด 3 รอกพันเทียมเมื่อใช้หลักยึดรูปทรง ก

ในโครงสร้างฟินปลอมซึ่งใช้หลักยึดรูปทรง ก พบว่ามีค่าความเค้นเค้นเค้นสูงสุดอยู่ที่บริเวณคอหลักยึดรอกพันเทียมตัวที่ 1 ด้านติดกับส่วนยื่นด้านท้ายฟินปลอม โดยเมื่อเปรียบเทียบกับค่าความเค้นเค้นเค้นที่ได้จากแบบจำลองฟินปลอมไฮบริด 3 รอกพันเทียมที่ใช้หลักยึดรูปแบบปกติ [1,2] พบว่าค่า

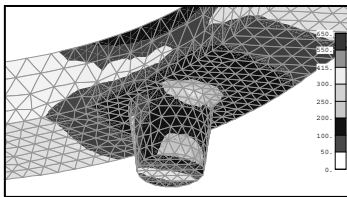
ความเค้นเฉือนสูงสุดในโครงสร้างฟันปลอมที่ใช้หลักยึดรูปทรง ก จะมีค่าต่ำกว่า ($\approx 11.6\%$ ในกรณีที่ 1 และ $\approx 10.8\%$ ในกรณีที่ 2)

ในกระดุมรอบรากฟันเทียม พบว่ามีค่าความเค้นเฉือนและความเค้นกดสูงสุดอยู่ที่บริเวณคอรากฟันเทียมตัวที่ 1 ด้านติดกับส่วนยื่นด้านท้ายฟันปลอม และมีค่าความเค้นดึงสูงสุดอยู่ที่บริเวณคอด้านหน้าของรากฟันเทียมตัวที่ 2 โดยที่ค่าความเค้นเฉือนสูงสุดในกรณีที่ 1 จะมีค่าเท่ากับในแบบจำลองฟันปลอมไฮบริด 3 รากฟันเทียมที่ใช้หลักยึดรูปแบบปกติ [1,2] ในขณะที่ค่าความเค้นเฉือนสูงสุดในกรณีที่ 2 จะสูงกว่าในกรณีที่ใช้หลักยึดรูปแบบปกติ [1, 2] เพียงเล็กน้อย ($\approx 2.0\%$) ส่วนค่าความเค้นกดสูงสุดในกระดุมรอบรากฟันเทียมจะมีค่าสูงกว่าในกรณีที่ใช้หลักยึดรูปแบบปกติ [1,2] เพียงเล็กน้อย ($\approx 0.3\%$ ในกรณีที่ 1 และ $\approx 1.6\%$ ในกรณีที่ 2) และค่าความเค้นดึงสูงสุดนั้นมีค่าต่ำกว่าในกรณีที่ใช้หลักยึดรูปแบบปกติ [1,2] เพียงเล็กน้อย ($\approx 1.8\%$ ในกรณีที่ 1 และ $\approx 1.4\%$ ในกรณีที่ 2)

5. การวิเคราะห์ฟันปลอมไฮบริด 3 รากฟันเทียมเมื่อใช้หลักยึดรูปทรง ข

5.1 การกระจายความเค้นเมื่อมีแรงกดเดี่ยวกระจายทั้งปาก โดยกำหนดชุดแรงกดเดี่ยว 155-175-195 N (กรณีที่ 1)

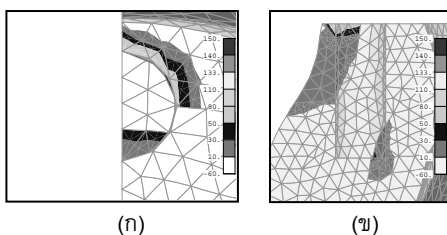
5.1.1 การกระจายความเค้นบนโครงสร้างฟันปลอม



รูปที่ 11 การกระจายความเค้นเฉือนสูงสุด, MPa บนโครงโลหะและหลักยึดรากฟันเทียมที่ใช้หลักยึดรูปทรง ข เมื่อมีชุดแรงกดเดี่ยว 155-175-195 N

ลักษณะการกระจายความเค้นบนโครงสร้างฟันปลอมโดยทั่วไปนั้นเหมือนกับกระจายความเค้นในแบบจำลองฟันปลอมไฮบริด 3 รากฟันเทียมรูปแบบปกติ [1,2] ยกเว้นในหลักยึดรากฟันเทียมตัวหลังสุดที่มีรูปทรง ข ซึ่งมีความเค้นลดลง โดยที่ความเค้นเฉือนสูงสุดยังคงอยู่ที่คอหลักยึดตัวที่ 1 ด้านติดกับส่วนยื่นด้านท้ายฟันปลอมซึ่งเป็นจุดเชื่อมต่อระหว่างโครงโลหะกับหลักยึดรากฟันเทียมตัวหลังสุด โดยค่าความเค้นเฉือนสูงสุดที่เกิดขึ้นในบริเวณนี้มีค่าเท่ากับ 369 MPa

5.1.2 การกระจายความเค้นบนกระดุมรอบรากฟันเทียม



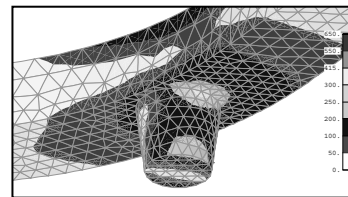
รูปที่ 12 การกระจายความเค้นหลักสูงสุด, MPa บนกระดูกขากรรไกรรอบรากฟันเทียมที่ใช้หลักยึดรูปทรง ข เมื่อมีชุดแรงกด

เดี่ยว 155-175-195 N โดยที่ (ก) เป็นภาพมุมมองของกระดุมรอบรากฟันเทียม (ข) เป็นภาพหน้าตัดของกระดุมรอบรากฟันเทียมตัวที่ 2

ความเค้นเฉือนมีค่าสูงสุดในกระดุมรอบรากฟันเทียมตัวที่ 1 ด้านเดียวกับส่วนยื่นด้านท้ายและมีค่าเท่ากับ 151 MPa ในขณะที่ความเค้นกดสูงสุดในกระดุมรอบรากฟันเทียมตัวที่ 1 ด้านเดียวกับส่วนยื่นด้านท้ายฟันปลอมมีค่าเท่ากับ -388 MPa ส่วนค่าความเค้นดึงสูงสุดซึ่งอยู่ในกระดุมรอบรากฟันเทียมบริเวณคอรากฟันเทียมตัวที่ 2 นั้นมีค่าลดลงจากรูปแบบปกติ [1, 2] เล็กน้อยเท่านั้น โดยที่ความเค้นกดสูงสุดในกระดุมรอบรากฟันเทียมในบริเวณนี้มีค่าเท่ากับ 102 MPa

5.2. การกระจายความเค้น เมื่อมีแรงกดเดี่ยวเฉพาะบริเวณฟันกรามด้านขวา โดยกำหนดชุดแรงกดเดี่ยว 190 N (กรณีที่ 2)

5.2.1 การกระจายความเค้นบนโครงสร้างฟันปลอม

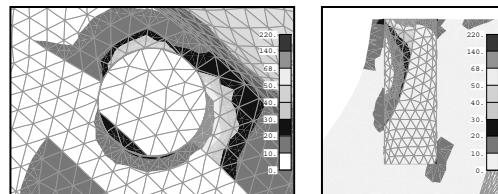


รูปที่ 13 การกระจายความเค้นเฉือนสูงสุด, MPa บนโครงโลหะและหลักยึดรากฟันเทียมที่ใช้หลักยึดรูปทรง ข เมื่อมีชุดแรงกดเดี่ยว 190 N

ลักษณะการกระจายความเค้นโดยรวมบนโครงสร้างฟันปลอมไม่แตกต่างจากการกระจายความเค้นในฟันปลอมไฮบริด 3 รากฟันเทียมรูปแบบปกติ [1,2] ยกเว้นบริเวณหลักยึดรากฟันเทียมตัวหลังสุดซึ่งค่าความเค้นที่เกิดขึ้นบนหลักยึดนั้นมีค่าลดลงจากรูปแบบปกติ [1, 2] โดยเฉพาะจุดที่มีค่าความเค้นเฉือนสูงสุดซึ่งมีค่าเท่ากับ 370 MPa

5.2.2 การกระจายความเค้นบนกระดุมรอบรากฟันเทียม

ความเค้นเฉือนมีค่าสูงสุดบริเวณคอรากฟันเทียมตัวที่ 1 ด้านเดียวกับส่วนยื่นด้านท้ายฟันปลอมและมีค่าเท่ากับ 114 MPa ในขณะที่ความเค้นกดมีค่าสูงสุดเท่ากับ -276 MPa ในกระดุมรอบรากฟันเทียมตัวที่ 1 ด้านเดียวกับส่วนยื่นด้านท้ายฟันปลอม ส่วนค่าความเค้นดึง มีค่าสูงสุดเท่ากับ 65 MPa ในกระดุมรอบรากฟันเทียมบริเวณคอด้านหน้าของรากฟันเทียมตัวที่ 2



รูปที่ 14 การกระจายความเค้นเฉือนสูงสุด, MPa บนกระดูกขากรรไกรรอบรากฟันเทียมที่ใช้หลักยึดรูปทรง ข เมื่อมีชุดแรงกดเดี่ยว 190 N โดยที่ (ก) เป็นภาพมุมมองของกระดุมรอบรากฟันเทียม (ข) เป็นภาพหน้าตัดของกระดุมรอบรากฟันเทียมตัวที่ 1

5.3 สรุปการกระจายความเค้นในแบบจำลองฟันปลอมไฮบริด 3 รากฟันเทียมเมื่อใช้หลักยึดรูปทรง ข

ในโครงสร้างฟันปลอมซึ่งใช้หลักยึดรูปทรง ข มีค่าความเค้นเค้นสูงสุดอยู่ที่คอหลักยึดตัวที่ 1 ด้านติดกับส่วนยื่นด้านท้ายฟันปลอม โดยที่ค่าความเค้นเค้นสูงสุดนี้มีค่าต่ำกว่าในแบบจำลองฟันปลอมไฮบริด 3 รากฟันเทียมรูปแบบปกติ [1, 2] ($\approx 14.6\%$ ในกรณีที่ 1 และ $\approx 15.1\%$ ในกรณีที่ 2)

ในกระดูกรอบรากฟันเทียมจะมีค่าความเค้นเค้นและความเค้นกดสูงสุดอยู่บริเวณคอรากฟันเทียมตัวที่ 1 ด้านติดกับส่วนยื่นด้านท้ายฟันปลอม และมีค่าความเค้นเค้นสูงสุดอยู่ที่บริเวณคอด้านหน้าของรากฟันเทียมตัวที่ 2 โดยที่ค่าความเค้นเค้นสูงสุดในกระดูกรอบรากฟันเทียมมีค่าสูงกว่าในแบบจำลองฟันปลอมไฮบริด 3 รากฟันเทียมรูปแบบปกติ [1, 2] ($\approx 4.9\%$ ในกรณีที่ 1 และ $\approx 11.8\%$ ในกรณีที่ 2) และค่าความเค้นกดสูงสุดก็มีค่าสูงกว่าในแบบจำลองปกติ [1, 2] ($\approx 4.9\%$ ในกรณีที่ 1 และ $\approx 11.7\%$ ในกรณีที่ 2) ส่วนค่าความเค้นเค้นสูงสุดมีค่าต่ำกว่าในแบบจำลองปกติ [1, 2] ($\approx 8.9\%$ ในกรณีที่ 1 และ $\approx 8.4\%$ ในกรณีที่ 2)

6. สรุปการเปลี่ยนแปลงโครงสร้างฟันปลอมโดยการเปลี่ยนรูปทรงหลักยึด

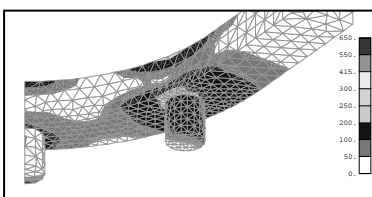
พบว่าโครงสร้างของฟันปลอมมีความแข็งแรงมากขึ้น โดยการลดค่าความเค้นเค้นสูงสุดที่เกิดขึ้นบริเวณคอหลักยึดตัวหลังสุดจนกระทั่งความเค้นเค้นสูงสุดบนโครงสร้างฟันปลอมไฮบริด ซึ่งใช้หลักยึดรูปทรง ก และรูปทรง ข นี้มีค่าน้อยกว่าค่าความเค้นเค้นสูงสุดในโครงสร้างฟันปลอมไฮบริด 3 รากฟันเทียมรูปแบบปกติ อย่างไรก็ตาม การเปลี่ยนรูปทรงของหลักยึดรากฟันเทียมนี้มิได้ส่งผลให้ความเค้นเค้นที่เกิดขึ้นบนกระดูกรอบรากฟันเทียมลดลงจากรูปแบบปกติ ความเสี่ยงต่อการละลายของกระดูกเนื่องจากความเค้นเค้นที่สูงยังคงมีอยู่ ดังนั้นก่อนที่จะนำไปใช้ในผู้ป่วยไร้วินัยที่จะตรวจสอบให้แน่ใจเสียก่อนว่าความเค้นบนกระดูกรอบรากฟันเทียมที่สูงขึ้นจะไม่ทำให้เกิดการละลายตัวของกระดูกรอบรากฟันเทียมจนทำให้เกิดความล้มเหลวในการทำฟันปลอม

7. การปรับปรุงฟันปลอมไฮบริด 3 รากฟันเทียมโดยการเปลี่ยนวัสดุที่ใช้ทำโครงโลหะ

โลหะอีกชนิดหนึ่งที่น่าจะใช้ทำโครงโลหะของฟันปลอมไฮบริดคือ โคบอลต์อัลลอยซึ่งมีความแข็งแรงสูงกว่าและมีค่าโมดูลัสของความยืดหยุ่น, E สูงกว่าไททาเนียมอัลลอยประมาณ 2 เท่า โดยมีค่าโมดูลัสความยืดหยุ่นเท่ากับ 200 GPa มีค่าความเค้นเค้นดิ่งที่จุดครากเท่ากับ 490 MPa และความเค้นเค้นดิ่งสูงสุดเท่ากับ 690 MPa.

7.1 การกระจายความเค้นเค้นเมื่อมีแรงกดเดี่ยวกระจายทั่วปาก โดยกำหนดจุดแรงกดเดี่ยว 155-175-195 N (กรณีที่ 1)

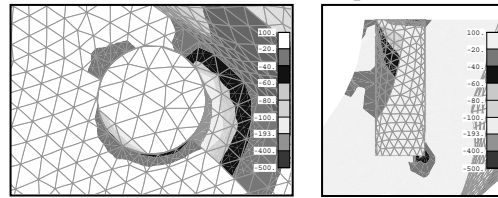
7.1.1 การกระจายความเค้นเค้นบนโครงสร้างฟันปลอม



รูปที่ 15 การกระจายความเค้นเค้นสูงสุด, MPa บนโครงโลหะและหลักยึดรากฟันเทียมซึ่งใช้โครงโลหะโคบอลต์อัลลอย เมื่อมีจุดแรงกดเดี่ยว 155-175-195 N

การกระจายความเค้นบนโครงสร้างฟันปลอมในแบบจำลองฟันปลอมไฮบริด 3 รากฟันเทียมซึ่งใช้โครงโลหะโคบอลต์อัลลอยในกรณีนี้ นั้นมีความแตกต่างจากในแบบจำลองฟันปลอมไฮบริด 3 รากฟันเทียมซึ่งใช้โครงโลหะไททาเนียมอัลลอยโดยที่ค่าความเค้นเค้นสูงสุดบนโครงโลหะโคบอลต์อัลลอยจะอยู่ที่บริเวณรอยต่อที่คอด้านหลังของหลักยึดรากฟันเทียมตัวที่ 1 และมีค่าเท่ากับ 237 MPa ในขณะที่ค่าความเค้นเค้นสูงสุดบนหลักยึดรากฟันเทียมไททาเนียมอัลลอยจะอยู่ที่บริเวณคอด้านหลังของหลักยึดรากฟันเทียมตัวที่ 1 และมีค่าเท่ากับ 161 MPa [1,2]

7.1.2 การกระจายความเค้นเค้นบนกระดูกรอบรากฟันเทียม



(ก)

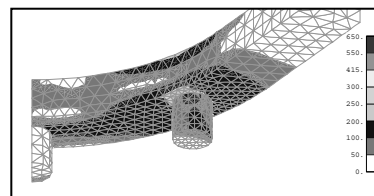
(ข)

รูปที่ 16 การกระจายความเค้นเค้นหลักต่ำสุด, MPa บนกระดูกขากรรไกรรอบรากฟันเทียมซึ่งใช้โครงโลหะโคบอลต์อัลลอย เมื่อมีจุดแรงกดเดี่ยว 155-175-195 N โดยที่ (ก) เป็นภาพมุมมองของกระดูกรอบรากฟันเทียม (ข) เป็นภาพหน้าตัดของกระดูกรอบรากฟันเทียมตัวที่ 1

ความเค้นเค้นสูงสุดที่กระจายอยู่ในกระดูกรอบรากฟันเทียมตัวที่ 1 มีค่าลดลงจากรูปแบบปกติ [1, 2] เพียงเล็กน้อย โดยที่ค่าความเค้นเค้นเค้นมีค่าสูงสุดอยู่ที่บริเวณคอรากฟันเทียมตัวที่ 1 ด้านเดียวกับส่วนยื่นด้านท้ายฟันปลอมและมีค่าเท่ากับ 136 MPa ในขณะที่ค่าความเค้นเค้นเค้นมีค่าสูงสุดอยู่ในกระดูกรอบรากฟันเทียมตัวที่ 1 ด้านที่ติดกับส่วนยื่นด้านท้ายเช่นเดียวกับความเค้นเค้นเค้น โดยที่ค่าความเค้นเค้นสูงสุดมีค่าเท่ากับ -356 MPa ส่วนค่าความเค้นเค้นเค้นสูงสุดเกิดขึ้นบนกระดูกรอบรากฟันเทียมตัวที่ 2 ด้านหน้าและมีค่าเท่ากับ 110 MPa

7.2 การกระจายความเค้นเค้น เมื่อมีแรงกดเดี่ยวเฉพาะบริเวณฟันกรามด้านขวา โดยกำหนดจุดแรงกดเดี่ยว 190 N (กรณีที่ 2)

7.2.1 การกระจายความเค้นเค้นบนโครงสร้างฟันปลอม

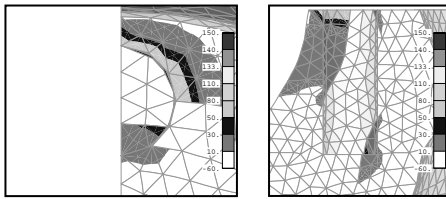


รูปที่ 17 การกระจายความเค้นเค้นสูงสุด, MPa บนโครงโลหะและหลักยึดรากฟันเทียมซึ่งใช้โครงโลหะโคบอลต์อัลลอย เมื่อมีจุดแรงกดเดี่ยว 190 N

การกระจายความเค้นบนโครงสร้างฟันปลอมของฟันปลอมไฮบริด 3 รากฟันเทียมซึ่งใช้โครงโลหะโคบอลต์อัลลอยในกรณีนี้ นั้นมีลักษณะที่

แตกต่างจากฟันปลอมไฮบริด 3 รากฟันเทียมรูปแบบปกติ [1, 2] ความเค้นที่มีค่าสูงสุดจะอยู่ในบริเวณคอหลักยึดรากฟันเทียมตัวที่ 1 ด้านหลัง ซึ่งในรูปแบบปกตินั้นค่าความเค้นสูงสุดจะอยู่บริเวณคอรากฟันเทียมตัวที่ 1 ด้านที่ติดกับส่วนยื่นด้านท้ายฟันปลอมที่เอียงไปทางด้านข้างของหลักยึด [1, 2] โดยความเค้นเค้นสูงสุดบนโครงโลหะโคบอลต์อัลลอย ซึ่งอยู่ที่รอยต่อบริเวณคอหลักยึดรากฟันเทียมตัวที่ 1 ด้านหลังนั้นมีค่าเท่ากับ 222 MPa ซึ่งน้อยกว่าความเค้นเค้นที่จุดครากของโคบอลต์อัลลอย (245 MPa) ในขณะที่ความเค้นเค้นสูงสุดบนหลักยึดรากฟันเทียมที่อยู่บริเวณคอหลักยึดตัวที่ 1 นั้นมีค่าเท่ากับ 105 MPa

7.2.2 การกระจายความเค้นบนกระดูกรอบรากฟันเทียม



(ก)

(ข)

รูปที่ 18 การกระจายความเค้นหลักสูงสุด, MPa บนกระดูกขากรรไกรรอบรากฟันเทียมซึ่งใช้โครงโลหะโคบอลต์อัลลอย เมื่อมีชุดแรงกดเดียว 190 N โดยที่ (ก) เป็นภาพมุมมองของกระดูกรอบรากฟันเทียม (ข) เป็นภาพหน้าตัดของกระดูกรอบรากฟันเทียมตัวที่ 2

ความเค้นที่สูงสุดที่กระจายอยู่ในกระดูกรอบคอรากฟันเทียมตัวที่ 1 ในกรณีนี้ไม่มีค่าลดลงจากรูปแบบปกติ [1, 2] โดยที่ความเค้นเค้นมีค่าสูงสุดอยู่ที่บริเวณคอรากฟันเทียมตัวที่ 1 ด้านเดียวกับส่วนยื่นด้านท้ายฟันปลอมและมีค่าเท่ากับ 91 MPa ในขณะที่ความเค้นเค้นมีค่าสูงสุดอยู่ในกระดูกรอบรากฟันเทียมตัวที่ 1 ด้านที่ติดกับส่วนยื่นด้านท้ายเช่นเดียวกับความเค้นเค้น โดยค่าความเค้นเค้นสูงสุดมีค่าเท่ากับ -233 MPa ส่วนค่าความเค้นเค้นสูงสุดเกิดขึ้นบนกระดูกรอบรากฟันเทียมตัวที่ 2 ด้านหน้าและมีค่าเท่ากับ 83 MPa

7.3 สรุปการกระจายความเค้นในแบบจำลองฟันปลอมไฮบริด 3 รากฟันเทียมซึ่งใช้โครงโลหะโคบอลต์อัลลอย

ในโครงสร้างฟันปลอมซึ่งใช้โครงโลหะโคบอลต์อัลลอยประกอบด้วยวัสดุสองชนิด คือ โคบอลต์อัลลอยในโครงโลหะ และไททาเนียมอัลลอยในหลักยึดและรากฟันเทียม ความเค้นเค้นสูงสุดในโครงโลหะทั้งสองชนิดนั้นอยู่ในบริเวณเดียวกันคือบริเวณรอยต่อที่คอด้านหลังของหลักยึดรากฟันเทียมตัวที่ 1 โดยที่ความเค้นเค้นสูงสุดในโครงโลหะโคบอลต์อัลลอยนั้นมีค่าต่ำกว่าค่าความเค้นเค้นที่จุดครากของโลหะโคบอลต์อัลลอยซึ่งเท่ากับ 245 MPa ($\approx 3.3\%$ ในกรณีที่ 1, $\approx 9.4\%$ ในกรณีที่ 2) ส่วนค่าความเค้นเค้นสูงสุดในส่วนที่เป็นไททาเนียมอัลลอยซึ่งอยู่ที่คอหลักยึดตัวที่ 1 มีค่าต่ำกว่าค่าความเค้นเค้นที่จุดครากของไททาเนียมอัลลอย ($\approx 61.2\%$ ในกรณีที่ 1, $\approx 74.7\%$ ในกรณีที่ 2) และมีค่าต่ำกว่าค่าความเค้นเค้นสูงสุดในโครงสร้างฟันปลอมซึ่งเป็นไททาเนียมอัลลอยในแบบจำลองฟันปลอมไฮบริด 3 รากฟันเทียมรูปแบบปกติ [1, 2] ($\approx 62.7\%$ ในกรณีที่ 1, $\approx 75.9\%$ ในกรณีที่ 2)

ในกระดูกรอบรากฟันเทียมนั้น ค่าความเค้นเค้นสูงสุดและค่าความเค้นเค้นสูงสุดจะอยู่ที่คอรากฟันเทียมตัวที่ 1 ด้านเดียวกับส่วนยื่นด้านท้ายฟันปลอมและมีค่าความเค้นเค้นสูงสุดอยู่ที่คอด้านหลังของรากฟันเทียมตัวที่ 2 โดยที่ความเค้นเค้นสูงสุดบนกระดูกรอบรากฟันเทียมนั้นมีค่าต่ำกว่าค่าความเค้นเค้นสูงสุดบนกระดูกรอบรากฟันเทียมในแบบจำลองฟันปลอมไฮบริด 3 รากฟันเทียมรูปแบบปกติ [1, 2] ($\approx 5.5\%$ ในกรณีที่ 1, $\approx 10.8\%$ ในกรณีที่ 2) แต่มีค่าสูงกว่าค่าความเค้นเค้นสูงสุดบนกระดูกรอบรากฟันเทียมในแบบจำลองฟันปลอมไฮบริด 5 รากฟันเทียมรูปแบบปกติ [1, 2] ($\approx 9.7\%$ ในกรณีที่ 1, $\approx 2.2\%$ ในกรณีที่ 2) ความเค้นเค้นสูงสุดบนกระดูกรอบรากฟันเทียมนั้นมีค่าต่ำกว่าค่าความเค้นเค้นสูงสุดบนกระดูกรอบรากฟันเทียมในแบบจำลองฟันปลอมไฮบริด 3 รากฟันเทียมรูปแบบปกติ [1, 2] ($\approx 3.8\%$ ในกรณีที่ 1, $\approx 5.7\%$ ในกรณีที่ 2) แต่มีค่าสูงกว่าค่าความเค้นเค้นสูงสุดบนกระดูกรอบรากฟันเทียมในแบบจำลองฟันปลอมไฮบริด 5 รากฟันเทียมรูปแบบปกติ [1, 2] ($\approx 10.6\%$ ในกรณีที่ 1, $\approx 6.4\%$ ในกรณีที่ 2) ความเค้นเค้นสูงสุดบนกระดูกรอบรากฟันเทียมในกรณีนี้ 1 นั้นมีค่าต่ำกว่าค่าความเค้นเค้นสูงสุดบนกระดูกรอบรากฟันเทียมในแบบจำลองฟันปลอมไฮบริด 3 รากฟันเทียมรูปแบบปกติ [1, 2] ($\approx 1.8\%$) แต่มีค่าสูงกว่าในกรณีนี้ 2 ($\approx 21.1\%$)

7.4 สรุปการปรับปรุงโครงสร้างฟันปลอมโดยใช้โครงโลหะโคบอลต์อัลลอย

ค่าความเค้นเค้นรวมสูงสุดบนคอหลักยึดรากฟันเทียมและบนคอรากฟันเทียมลดลงจากฟันปลอมไฮบริด 3 รากฟันเทียมรูปแบบปกติ ส่งผลให้ค่าความเค้นเค้นสูงสุดที่อยู่บริเวณเดียวกันนั้นได้แก่ ความเค้นเค้นเค้นที่คอหลักยึดตัวที่ 1 ความเค้นเค้นและความเค้นเค้นเค้นในกระดูกรอบรากฟันเทียมบริเวณคอรากฟันเทียมตัวที่ 1 มีค่าลดลง แม้ว่าความเค้นเค้นเค้นที่จุดครากของโคบอลต์อัลลอย (245 MPa) จะน้อยกว่าไททาเนียมอัลลอย (415 MPa) แต่การลดลงอย่างมากของความเค้นเค้นเค้นสูงสุดบนโครงโลหะโคบอลต์อัลลอยนั้นกลับทำให้ความเค้นเค้นเค้นสูงสุดบนโครงโลหะมีค่าต่ำกว่าจุดครากของโคบอลต์อัลลอย อีกทั้งค่าความเค้นเค้นเค้นที่มีค่าสูงสุดในส่วนที่ยังคงเป็นไททาเนียมอัลลอยซึ่งก็คือหลักยึดและรากฟันเทียมซึ่งอยู่ที่บริเวณคอหลักยึดรากฟันเทียมหลังสุดนั้นมีค่าต่ำกว่าจุดครากของไททาเนียมอัลลอยอีกด้วย

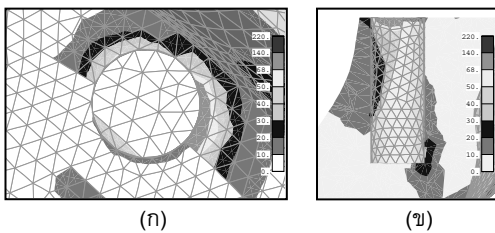
ส่วนกระดูกรอบรากฟันเทียมในแบบจำลองนี้ ค่าความเค้นเค้นและความเค้นเค้นสูงสุดยังคงอยู่ที่เดิมคือบริเวณคอรากฟันเทียมตัวหลังสุดและมีค่าลดลงจากแบบจำลองฟันปลอมไฮบริด 3 รากฟันเทียมรูปแบบปกติ ส่วนค่าความเค้นเค้นสูงสุดบริเวณคอรากฟันเทียมตัวหน้านั้นมีค่าเพิ่มขึ้นในกรณีที่มีแรงกดเดียวบนกรามด้านขวา อย่างไรก็ตามค่าความเค้นเค้นสูงสุดรอบรากฟันเทียมในฟันปลอมไฮบริด 3 รากฟันเทียมซึ่งใช้โครงโลหะโคบอลต์อัลลอยนั้นยังคงมีค่าที่สูงกว่าในฟันปลอมไฮบริด 5 รากฟันเทียมรูปแบบปกติ ฉะนั้นการใช้โครงโลหะโคบอลต์อัลลอยสามารถช่วยแก้ปัญหาการกระจายความเค้นบนโครงสร้างฟันปลอมได้อย่างมาก แต่ช่วยในการแก้ปัญหาการกระจายความเค้นที่เกิดขึ้นในกระดูกรอบรากฟันเทียมได้เพียงเล็กน้อยเท่านั้นและมีข้อควรระวังใน

การใช้ฟันปลอมไฮบริด 3 รากฟันเทียมซึ่งใช้โครงโลหะโคบอลต์อัลลอย ก็คือความเค้นดึงบนกระดูกที่ครอบรากฟันเทียมตัวหน้าสุดซึ่งมีค่าสูงขึ้นไปในกรณีที่มีแรงกดเคี้ยวบนกรามด้านใดด้านหนึ่ง

8. การปรับปรุงฟันปลอมไฮบริด 3 รากฟันเทียมโดยการเปลี่ยนจุดเชื่อมต่อระหว่างโครงโลหะกับหลักยึดรากฟันเทียม

กำหนดให้จุดต่อระหว่างหลักยึดกับรากฟันเทียมอยู่ในลักษณะของจุดหมุน แต่เนื่องจากการกำหนดให้จุดหมุนอยู่ที่รากฟันเทียมดังกล่าวนั้นมีความเสี่ยงต่อการเสียหายของรากฟันเทียมเนื่องจากความเค้นที่มีค่าสูงที่เกิดขึ้น ณ บริเวณจุดต่อ ฉะนั้นจึงต้องย้ายจุดต่อให้มาอยู่บนคอหลักยึดซึ่งเชื่อมต่อกับโครงโลหะแทน ซึ่งเป็นการลดความเสี่ยงต่อความเสียหายที่อาจเกิดขึ้นกับรากฟันเทียม อีกทั้งการปรับเปลี่ยนลักษณะจุดเชื่อมต่อที่คอหลักยึดด้านบนนั้นสามารถทำได้สะดวกกว่า

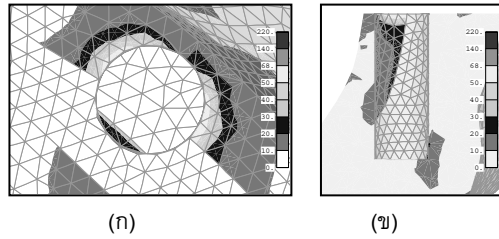
8.1 การกระจายความเค้นบนกระดูกครอบรากฟันเทียมเมื่อมีแรงกดเคี้ยวกระทำทั้งปาก โดยกำหนดชุดแรงกดเคี้ยว 155-175-195 N (กรณี 1)



รูปที่ 19 การกระจายความเค้นเค้นเค้นสูงสุด, MPa บนกระดูกขากรรไกรครอบรากฟันเทียมในแบบจำลองฟันปลอมไฮบริด 3 รากฟันเทียมซึ่งใช้จุดเชื่อมต่อแบบจุดหมุน เมื่อมีชุดแรงกดเคี้ยว 155-175-195 N โดยที่ (ก) เป็นภาพมุมมองของกระดูกครอบรากฟันเทียม (ข) เป็นภาพหน้าตัดของกระดูกครอบรากฟันเทียมตัวที่ 1

ความเค้นที่กระจายบนกระดูกครอบรากฟันเทียมในแบบจำลองนี้แตกต่างจากแบบจำลองฟันปลอมไฮบริด 3 รากฟันเทียมรูปแบบปกติ [1, 2] คือ ความเค้นที่มีค่าสูงที่ครอบรากฟันเทียมซึ่งเดิมนั้นจะกระจายอยู่ด้านใดด้านหนึ่งของครอบรากฟันเทียม แต่ในแบบจำลองนี้ความเค้นที่มีค่าสูงนั้นจะกระจายไปยังส่วนที่เป็นกระดูกที่ครอบรากฟันเทียมด้วย โดยมีขนาดที่ไม่แตกต่างกันมากเหมือนที่เกิดค่าความเค้นสูงเฉพาะบริเวณครอบรากฟันเทียมตัวที่ 1 ด้านเดียวกับส่วนยื่นด้านท้ายฟันปลอมดังในรูปแบบปกติ โดยที่ค่าความเค้นเค้นสูงสุดบนกระดูกครอบรากฟันเทียมซึ่งอยู่ที่บริเวณครอบรากฟันเทียมตัวที่ 1 ด้านเดียวกับส่วนยื่นด้านท้ายฟันปลอมนั้นมีค่าเท่ากับ 118 MPa ค่าความเค้นสูงสุดบนกระดูกครอบรากฟันเทียมซึ่งอยู่ที่บริเวณเดียวกับค่าความเค้นเค้นสูงสุดนั้นมีค่าเท่ากับ -315 MPa และค่าความเค้นเค้นสูงสุดบนกระดูกครอบรากฟันเทียมซึ่งอยู่ที่คอด้านหน้าของรากฟันเทียมตัวที่ 2 นั้นมีค่าเท่ากับ 115 MPa

8.2 การกระจายความเค้นบนกระดูกครอบรากฟันเทียมเมื่อมีแรงกดเคี้ยวเฉพาะบริเวณฟันกรามด้านขวา โดยกำหนดชุดแรงกดเคี้ยว 190 N (กรณี 2)



รูปที่ 20 การกระจายความเค้นเค้นสูงสุด, MPa บนกระดูกขากรรไกรครอบรากฟันเทียมในแบบจำลองฟันปลอมไฮบริด 3 รากฟันเทียมซึ่งใช้จุดเชื่อมต่อแบบจุดหมุน เมื่อมีชุดแรงกดเคี้ยว 190N โดยที่ (ก) เป็นภาพมุมมองของกระดูกครอบรากฟันเทียม (ข) เป็นภาพหน้าตัดของกระดูกครอบรากฟันเทียมตัวที่ 1

การกระจายความเค้นบนกระดูกครอบรากฟันเทียมในกรณีนี้ก็อยู่ในลักษณะเดียวกับในกรณี 1 คือ การกระจายความเค้นด้วยค่าที่ใกล้เคียงกันบนกระดูกครอบรากฟันเทียม โดยที่ความเค้นเค้นสูงสุดบนกระดูกครอบรากฟันเทียมซึ่งอยู่ที่บริเวณครอบรากฟันเทียมตัวที่ 1 ด้านเดียวกับส่วนยื่นด้านท้ายฟันปลอมนั้นมีค่าเท่ากับ 64 MPa ความเค้นสูงสุดบนกระดูกครอบรากฟันเทียมซึ่งอยู่ที่เดียวกับค่าความเค้นเค้นสูงสุดนั้นมีค่าเท่ากับ -162 MPa และค่าความเค้นสูงสุดบนกระดูกครอบรากฟันเทียมซึ่งอยู่บริเวณคอด้านหน้าของรากฟันเทียมตัวที่ 2 มีค่าเท่ากับ 85 MPa

8.3 สรุปการกระจายความเค้นในแบบจำลองฟันปลอมไฮบริด 3 รากฟันเทียมซึ่งใช้จุดเชื่อมต่อแบบจุดหมุน

ความเค้นเค้นสูงสุดบนกระดูกครอบรากฟันเทียมมีค่าต่ำกว่าความเค้นเค้นสูงสุดบนกระดูกครอบรากฟันเทียมในแบบจำลองฟันปลอมไฮบริด 3 รากฟันเทียมรูปแบบปกติ [1, 2] ($\approx 18.0\%$ ในกรณี 1, $\approx 37.2\%$ ในกรณี 2) และมีค่าต่ำกว่าความเค้นเค้นสูงสุดบนกระดูกครอบรากฟันเทียมในแบบจำลองฟันปลอมไฮบริด 5 รากฟันเทียมรูปแบบปกติ [1, 2] ($\approx 4.8\%$ ในกรณี 1, $\approx 28.1\%$ ในกรณี 2) ความเค้นสูงสุดบนกระดูกครอบรากฟันเทียมมีค่าต่ำกว่าความเค้นสูงสุดบนกระดูกครอบรากฟันเทียมในแบบจำลองฟันปลอมไฮบริด 3 รากฟันเทียมรูปแบบปกติ [1, 2] ($\approx 14.9\%$ ในกรณี 1, $\approx 34.4\%$ ในกรณี 2) และมีค่าต่ำกว่าความเค้นสูงสุดบนกระดูกครอบรากฟันเทียมในแบบจำลองฟันปลอมไฮบริด 5 รากฟันเทียมรูปแบบปกติ [1, 2] ($\approx 2.2\%$ ในกรณี 1, $\approx 26.0\%$ ในกรณี 2) ส่วนความเค้นเค้นสูงสุดบนกระดูกครอบรากฟันเทียมมีค่าสูงกว่าความเค้นเค้นสูงสุดบนกระดูกครอบรากฟันเทียมในแบบจำลองฟันปลอมไฮบริด 3 รากฟันเทียมรูปแบบปกติ [1, 2] ($\approx 2.7\%$ ในกรณี 1, $\approx 19.7\%$ ในกรณี 2) และมีค่าสูงกว่าความเค้นเค้นสูงสุดบนกระดูกครอบรากฟันเทียมในแบบจำลองฟันปลอมไฮบริด 5 รากฟันเทียมรูปแบบปกติ ($\approx 38.6\%$ ในกรณี 1, $\approx 19.7\%$ ในกรณี 2)

8.4 สรุปการปรับปรุงโครงสร้างฟันปลอมโดยใช้จุดเชื่อมต่อแบบจุดหมุนบนหลักยึด

การเปลี่ยนจุดเชื่อมต่อระหว่างโครงโลหะกับหลักยึดรากฟันเทียมให้เป็นแบบจุดหมุนซึ่งสามารถส่งผ่านแรงได้เพียงอย่างเดียว ไม่

สามารถส่งโมเมนต์ผ่านจุดหมุนนี้ได้ สามารถทำให้ความเค้นสูงสุดที่เกิดขึ้นบนกระดูกรอบรากฟันเทียมตัวหลังสุดซึ่งเป็นบริเวณที่เกิดปัญหาในฟันปลอม 3 รากฟันเทียมนั้นมียาลดลงจนกระทั่งมีค่าน้อยกว่าความเค้นสูงสุดบนกระดูกรอบรากฟันเทียมตัวหลังสุดในฟันปลอมไฮบริด 5 รากฟันเทียมตามข้อกำหนดเดิมอีกด้วย ในขณะที่ค่าความเค้นดิ่งสูงสุดบนกระดูกรอบรากฟันเทียมซึ่งเกิดขึ้นบริเวณคอรากฟันเทียมตัวหน้าสุดนั้นมีค่าเพิ่มขึ้นเล็กน้อย แต่ไม่เกินค่ากำลังวัสดุ หากนำฟันปลอมรูปแบบนี้ไปใช้ในทางปฏิบัติจะสามารถลดความเสี่ยงต่อการละลายของกระดูกรอบรากฟันเทียมเนื่องจากความเค้นสูงที่คอรากฟันเทียมตัวหลังสุดได้ แต่ก็ต้องเพิ่มความระมัดระวังขึ้นเล็กน้อยต่อความเค้นดิ่งที่เกิดขึ้นในกระดูกคอรากฟันเทียมตัวหน้าสุด และยังมีจุดที่ต้องแก้ไขอีกก็คือลักษณะโครงสร้างบริเวณจุดหมุนซึ่งจำลองให้ถ่ายทอดแรงผ่านแค่จุดเดียวบนหลักยึดรากฟันเทียมเท่านั้น

9. สรุป

การปรับปรุงโครงสร้างฟันปลอมติดแน่นชนิดไฮบริดแบบ 3 รากฟันเทียม เพื่อให้มีความแข็งแรงเพียงพอและลดความเสี่ยงที่จะเกิดความเสียหายในโครงสร้างของฟันปลอมสามารถกระทำได้โดยการออกแบบหลักยึดรากฟันเทียมรูปทรงใหม่ การเปลี่ยนชนิดของวัสดุที่ใช้ทำโครงโลหะตลอดจนการเปลี่ยนแปลงโครงสร้างฟันปลอมเพื่อให้แรงที่ส่งสู่รากฟันเทียมแต่ละตัวเป็นแรงตามแนวแกนเพื่อหลีกเลี่ยงการถ่ายทอดโมเมนต์แรงดัดลงสู่หลักยึดและรากฟันเทียม โดยเมื่อใช้ระเบียบวิธีไฟไนต์เอลิเมนต์เข้าทำการวิเคราะห์แล้วพบว่าแต่ละรูปแบบของการเปลี่ยนแปลงสามารถลดปัญหาการเกิดความเค้นสูงสุดบนโครงสร้างฟันปลอมและกระดูกรอบรากฟันเทียมได้ ถึงแม้ว่าบางรูปแบบของการเปลี่ยนแปลงอาจจะไม่สามารถลดค่าความเค้นลงมาจนถึงระดับที่น่าพอใจได้ โดยเฉพาะอย่างยิ่งบริเวณกระดูกรอบรากฟันเทียม แต่อย่างไรก็ตาม แนวทางการเปลี่ยนแปลงที่นำเสนอในงานวิจัยนี้ถือว่าเป็นแนวทางเริ่มต้นในการปรับปรุงโครงสร้างของฟันปลอมติดแน่นชนิดไฮบริดแบบ 3 รากฟันเทียมที่จะต้องนำไปพัฒนาต่อไป

เอกสารอ้างอิง

- [1] ชาคริต ตั้งศิริมงคล, 2545, การวิเคราะห์ความเค้นในรากฟันเทียมของฟันปลอมติดแน่นชนิดไฮบริดโดยใช้ระเบียบวิธีไฟไนต์เอลิเมนต์. วิทยานิพนธ์ปริญญาโทบริหารธุรกิจ วิศวกรรมศาสตร์ จุฬาลงกรณ์มหาวิทยาลัย.
- [2] เชิดพันธ์ วิทยารักษ์ และ ชาคริต ตั้งศิริมงคล, 2549, การวิเคราะห์ความเค้นในรากฟันเทียมของฟันปลอมติดแน่นชนิดไฮบริดโดยใช้ระเบียบวิธีไฟไนต์เอลิเมนต์, การประชุมวิชาการเครือข่ายวิศวกรรมเครื่องกลแห่งประเทศไทยครั้งที่ 20.
- [3] Adell, R., Eriksson, B., Lekholm, U., Brånemark, P.-I., and Jemt, T., 1990. A long-term follow-up study of Osseo integrated implants in the treatment of totally edentulous jaws. *Int. J. Oral Maxillofacial Implants* 5(1990), pp. 347-359.

- [4] Barbier, L. et al., 1998. Finite element analysis of non-axial versus axial loading of oral implants in the mandible of the dog, *J. Oral Rehab* 25(1998), pp. 874-858.
- [5] Brånemark, P.-I., Enstrand, P., Öhrnell, L.-O., Gröndahl, K., Nilsson, P., Hagberg, K., Darle, C. and Lekholm, U., 1999. Brånemark Novum®: A new treatment concept for Rehabilitation of the edentulous of the edentulous mandible. Preliminary results from a prospective clinical follow-up study, *Clinical Implant Dentistry and Related Research* 1(1999), pp. 2-16.
- [6] Falk, H., Laurell, L. and Lundgren, D.1989. Occlusal force pattern in dentitions with mandibular implant-supported fixed cantilever prostheses occluded with complete dentures. *Int. J Oral Maxillofacial Implants* 4(1989), pp. 55-62.
- [7] Fontijn-Tekamp, F. A. et al.1998. Bite forces with mandibular implant-retained over denture. *J Dent Res* 1998; 77, pp. 1832-1839
- [8] Jemt, T., Book, K. and Karlsson, S. 1993. Occlusal force and mandibular movements in patients with removable over dentures and fixed prostheses supported by implants in the maxilla. *Int. J. Oral Maxillofacial Implants* 8(1993), pp. 301-308.
- [9] Koriath, T.W.P. and Hannam, A. G.1994. Deformation of the human mandible during stipulated tooth clenching. *J. Dent. Res.* 73(1994), pp. 56-66.
- [10] Corinth, T.W.P. and Johann, A. R.1999. Influence of mandibular superstructure shape on implant stresses during simulated posterior biting. *J. Prosthetic Dent* 82, pp. 67-72.
- [11] Koriath, T.W.P., Versluis, A. 1997. Modeling the mechanical behavior of the jaws and their related structures by finite element (FE) analysis. *Crit Rev Oral Biol Med* 8(1997): pp. 90-104.
- [12] Sertgöz, A., Guvener, S.1996. Finite element analysis of the effect of cantilever and implant length on stress distribution in an implant-supported fixed prosthesis. *J. Prosthetic Dent* 76(1996), pp. 165-169.
- [13] อัญชลี ตั้งจางกูรศรีศรี, 2545, การวิเคราะห์การกระจายของแรงเค้นด้วยวิธีไฟไนต์เอลิเมนต์ในฟันปลอมติดแน่นชนิดไฮบริดที่ฟันผิวประชิดของรากเทียมและกระดูกอันเป็นผลมาจากจำนวนรากเทียมและตำแหน่งของรากเทียม. วิทยานิพนธ์ปริญญาโทบริหารธุรกิจ ทันตแพทยศาสตร์ จุฬาลงกรณ์มหาวิทยาลัย.